

УДК 538.945

©1995

ВЛИЯНИЕ КИСЛОРОДНЫХ ВАКАНСИЙ НА ФОРМУ РЕНТГЕНОВСКИХ ЭМИССИОННЫХ СПЕКТРОВ ТОНКИХ ПЛЕНОК СИСТЕМЫ Y-Ba-Cu-O

*С.И.Курганский, М.А.Харченко, О.И.Дубровский,
А.М.Бугаков, Э.П.Домашевская*

Воронежский государственный университет

(Поступила в Редакцию 28 июля 1994 г.)

С помощью линейного метода присоединенных плоских волн исследованы энергетические спектры электронов в тонких пленках $\text{YBa}_2\text{Cu}_3\text{O}_7$ и $\text{YBa}_2\text{Cu}_3\text{O}_6$. На основании результатов расчета энергетической зонной структуры проведен теоретический расчет рентгеновских эмиссионных спектров. Полученные спектры подтверждают резонансный характер взаимодействия d -состояний меди с p -состояниями кислорода. Сравнение рассчитанных спектров с экспериментальными данными показало их качественное согласие. Как теоретические, так и экспериментальные спектры свидетельствуют об уменьшении взаимодействия между d - и p -состояниями при снижении содержания кислорода в пленке.

Со времени обнаружения высокотемпературной сверхпроводимости в системе Y-Ba-Cu-O [1] появилось большое количество работ, направленных на изучение свойств сверхпроводящих $\text{YBa}_2\text{Cu}_3\text{O}_{7-\delta}$ металлокерамик, и к настоящему времени уже выполнены их структурные исследования, изучены электрофизические свойства, а также установлены различные методы получения кристаллических образцов и тонких пленок. Не ослабевающий в течение последних лет интерес к изучению высокотемпературных сверхпроводников данной системы связан не только с возможными перспективами их практического применения. После открытия новых сверхпроводящих фаз на основе более сложных оксидных композиций, включающих висмут и таллий, иттрий-бариевые сверхпроводники стали рассматриваться в качестве относительно простых модельных объектов, понимание свойств которых должно способствовать прогрессу в выяснении механизмов сверхпроводимости и в других оксидных системах.

Исследование высокотемпературных сверхпроводников невозможно представить без детального изучения их электронного строения. Проанализировав рассчитанные нами ранее энергетические спектры электронов и парциальные плотности состояний в тонких пленках $\text{YBa}_2\text{Cu}_3\text{O}_{7-\delta}$ [2], мы пришли к выводу о том, что медно-кислородная подсистема в рассматриваемых высокотемпературных сверхпроводниках играет особую роль в формировании валентной зоны благодаря

наличию довольно большой плотности кислородных и медных состояний вблизи уровня Ферми E_F . Как известно, спектральные линии различных компонентов, входящих в состав сплава или соединения, позволяет получить рентгеновская эмиссионная спектроскопия. В соответствии с дипольными правилами отбора OK_{α} -полоса, соответствующая электронному переходу $2p \rightarrow 1s$, отвечает преимущественно валентным p -электронам атомов кислорода, а CuL_{α} -спектр, соответствующий переходу $3d \rightarrow 2p_{3/2}$, вследствие малости вкладов в интенсивность от s -электронов преимущественно несет информацию о d -электронах атомов меди.

Несомненный интерес также представляет изучение поведения электронной структуры этих соединений при изменениях в кислородной подсистеме, а именно при замещении атомов кислорода, находящихся в различных кристаллографических положениях, на вакансию. В связи с этим для оценки изменений электронного строения при удалении атомов кислорода из медно-кислородных цепочек в соединениях $YBa_2Cu_3O_{7-\delta}$ и для установления степени взаимовлияния медных d - и кислородных p -состояний в настоящей работе на основе результатов ранее выполненного нами расчета энергетической зонной структуры [2] впервые проведен теоретический расчет рентгеновских эмиссионных OK_{α} - и CuL_{α} -спектров тонких пленок $YBa_2Cu_3O_7$ и $YBa_2Cu_3O_6$.

Исследуемые пленки состоят из семи атомных слоев и симметричны относительно зеркального отражения в плоскости центрального слоя, образованного одномерными цепочками $Cu^{(1)}-O^{(1)}$; на поверхности лежат атомы иттрия. Структура пленок определялась расположением атомов в элементарной ячейке согласно данными нейтронографических исследований [3,4] (табл. 1). В пленке $YBa_2Cu_3O_6$ вакантны позиции атомов кислорода $O^{(1)}$, входящих в состав кислородно-медных цепочек. Удаление атомов кислорода $O^{(1)}$ в пленке $YBa_2Cu_3O_{7-\delta}$ приводит к изменению орторомбической фазы (при $\delta = 0$) на тетрагональную, что учитывалось в расчете.

Таблица 1

Координаты неэквивалентных атомов в элементарной ячейке пленок $YBa_2Cu_3O_{7-\delta}$ в единицах параметров орторомбической решетки $a = 3.8231 \text{ \AA}$, $b = 3.8864 \text{ \AA}$, $c = 11.6807 \text{ \AA}$ [3] ($\delta = 0$) и тетрагональной решетки $a = b = 3.8651 \text{ \AA}$, $c = 11.7901 \text{ \AA}$ [4] ($\delta = 1$)

Атомы	x/a	y/b	z/c	
			$\delta = 0$	$\delta = 1$
Y	0.5	0.5	0.5	0.5
Ba	0.5	0.5	± 0.1843	± 0.1935
$Cu^{(1)}$	0.0	0.0	0.0	0.0
$Cu^{(2)}$	0.0	0.0	± 0.3556	± 0.3594
$O^{(1)}$	0.0	0.5	0.0	—
$O^{(2)}$	0.0	0.0	± 0.1584	± 0.1541
$O^{(3)}$	0.5	0.0	± 0.3773	± 0.3792
$O^{(4)}$	0.0	0.0	± 0.3789	± 0.3792

Для расчета зонной структуры пленок использовался полурелятический пленочный метод линеаризованных плоских волн (ЛППВ) [5]. Пленочный потенциал строился в muffin-tin приближении, причем обменно-корреляционная часть вычислялась в аппроксимации [6]. Матричные элементы вероятности рентгеновского перехода рассчитывались в одноэлектронном и дипольном приближениях. В расчетах предполагалось, что волновые функции валентного $\psi_k(r)$ и оставного $\psi_c(r)$ состояний являются собственными функциями одного и того же кристаллического гамильтонiana и вследствие достаточно хорошей локализации оставные волновые функции должны обращаться в нуль на радиусе muffin-tin сферы r_s , поэтому они были представлены в виде, подобном виду волновой функции свободного атома

$$\psi_c(r) = R_l(r)Y_{lm}(\theta, \varphi), \quad (1)$$

но радиальная часть $R_l(r)$ определялась решением радиального уравнения Шредингера с пленочным потенциалом при энергии, соответствующей энергии оставного уровня.

В случае использования базиса ЛППВ волновая функция валентного состояния внутри s -й muffin-tin сферы может быть представлена в виде

$$\psi_k(r) = \sum_{lm} a_{lm} R_{lm}(r)Y_{lm}(\theta, \varphi). \quad (2)$$

Для матричного элемента вероятности перехода с учетом $(2l+1)$ -кратного вырождения оставного состояния ψ_c по квантовому числу m было получено выражение

$$M^2 = \frac{l+1}{2l+3} f^2(l, l+1, E) + \frac{l}{2l-1} f^2(l, l-1, E), \quad (3)$$

где

$$f^2(l, l', E) \equiv \sum_{m'} |a_{l'm'}|^2 \left| \int_0^{r_s} R_{l'm'}(r) R_l(r) r^3 dr \right|^2. \quad (4)$$

Таким образом, интенсивность рентгеновских эмиссионных полос определяется выражением

$$I(E) \simeq E^3 \sum_k M^2 \delta(E - E_c + E_k), \quad (5)$$

в котором суммирование ведется только по занятым состояниям в зоне Бриллюэна.

Матричный элемент вероятности перехода был рассчитан непосредственно по формуле (3). Используя квазинепрерывность волнового вектора в зоне Бриллюэна при расчете интенсивности рентгеновских эмиссионных полос, мы заменили сумму по всем занятым состояниям в (5) интегралом по зоне Бриллюэна, который вычислялся комбинированным методом треугольников [7].

Для качественного анализа рассчитанные рентгеновские эмиссионные OK_α - и CuL_α -спектры были размыты функцией Лоренца, учитывавшей различные факторы, вносящие вклады в уширение спектров: аппаратурное уширение, уширение оставного уровня, на который осуществляется переход, а также уширение, связанное с конечным временем жизни дырки в валентной зоне.

Уширение по причине неэквивалентного положения атомов в пленках учитывалось автоматически вследствие совмещения спектров в единой энергетической шкале ($E_F = 0$). Аппаратурное уширение принималось равным 0.6 eV. При уширении основных уровней были использованы следующие экспериментальные значения [8]: 0.1 eV для ширины $1s$ -уровня кислорода и 1.2 eV для $2p_{3/2}$ -уровня меди. Уширение, связанное с конечным временем жизни дырки в валентной зоне, линейно зависит от энергии состояния [9,10]

$$\Gamma_A(E) = \Gamma_0 \left(1 - \frac{E - E_0}{E_F - E_0} \right), \quad (6)$$

где

$$\Gamma_0 = (E_F - E_0) \cdot 0.2 \text{ eV}. \quad (7)$$

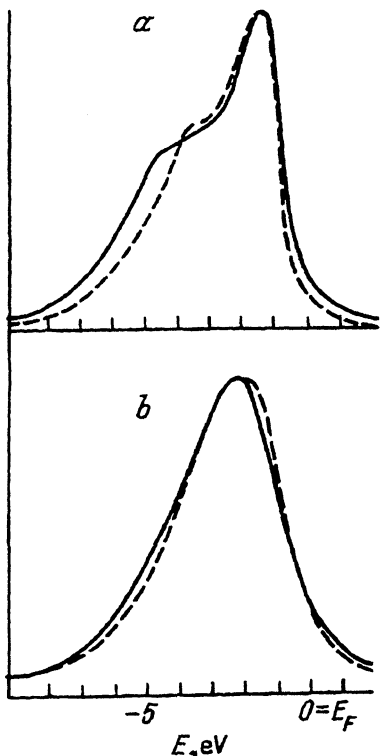
Здесь E_0 — энергия дна валентной зоны, Γ_0 — ширина уровня у дна валентной зоны. Результаты расчета рентгеновских эмиссионных OK_α - и CuL_α -спектров пленок $YBa_2Cu_3O_x$ приведены на рисунке. В табл. 2 имеются численные значения положений главных максимумов этих спектров, а также их полуширины. Из рисунка видно, что медные d - и кислородные p -состояния в $YBa_2Cu_3O_{7-\delta}$ взаимодействуют резонансным образом. Главный максимум CuL_α -полосы, соответствующий максимуму плотности d -состояний, лежит немного ниже главного максимума OK_α -спектра, соответствующего максимуму плотности p -состояний. Сильное $d-p$ -взаимодействие проявляется как расщепление пика плотности $O2p$ -состояний на две компоненты в области локализации d -состояний, что определяет положение максимумов в OK_α -спектре.

Рассмотрим более подробно качественные изменения рентгеновских эмиссионных OK_α - и CuL_α -спектров при переходе от $YBa_2Cu_3O_7$ к $YBa_2Cu_3O_6$. При таком переходе взаимодействие между d - и p -состояниями в центральном слое должно уменьшиться вследствие удаления атомов кислорода из кислородно-медных цепочек в пленках $YBa_2Cu_3O_6$. Это подтверждает результаты расчета: CuL_α -спектр становится уже и поднимается к уровню Ферми на 0.05 eV. В результате уменьшения влияния медных d -состояний на кислородные

Таблица 2

Положения главных максимумов и полуширины
рентгеновских эмиссионных спектров (eV)

Пленка	$YBa_2Cu_3O_7$	$YBa_2Cu_3O_6$
max CuL_α	2.00	1.95
Полуширина	3.84	3.73
max $OK_\alpha^{(1)}$	1.46	1.54
max $OK_\alpha^{(2)}$	4.02	3.11
Полуширина	4.04	3.48
$OK_\alpha^{(2)}-OK_\alpha^{(1)}$	2.56	1.57
$CuL_\alpha-OK_\alpha^{(1)}$	0.54	0.41
$OK_\alpha^{(2)}-CuL_\alpha$	2.02	1.16



Рентгеновские эмиссионные OK_{α} - (a) и CuL_{α} -спектры (b) пленок $YBa_2Cu_3O_7$ (сплошная линия) и $YBa_2Cu_3O_6$ (штриховая линия).

p -состояния расщепление OK_{α} -полосы уменьшается, при этом максимумы OK_{α} -спектра сближаются, причем главный максимум опускается примерно на 0.1 eV (табл. 2), второй максимум, наоборот, значительно поднимается к уровню Ферми с одновременным увеличением его интенсивности, а минимум спектра становится менее глубоким. Такие результаты свидетельствуют об уменьшении $d-p$ -взаимодействия в пленках. Из результатов расчета также следует, что основные изменения формы рентгеновских эмиссионных спектров происходят вблизи дна, а не потолка валентной зоны.

Сравнение теоретически рассчитанных спектров с экспериментальными данными показывает их качественное согласие. В [11, 12] исследуются изменения форм рентгеновских эмиссионных полос в ряду соединений $YBa_2Cu_3O_{7-\delta}$. Действительно, при переходе от $YBa_2Cu_3O_7$ к $YBa_2Cu_3O_6$ экспериментальные CuL_{α} -спектры заметно сужаются. По данным работы [11], полуширина CuL_{α} -спектра уменьшается примерно на 1.1 eV. Согласно нашим расчетам, ширина CuL_{α} -спектра уменьшается не так сильно, как в эксперименте. Тем не менее качественное совпадение поведения спектров свидетельствует об ослаблении влияния d -зоны на p -расстояния.

В [12] показано, что интенсивность второго максимума при уменьшении содержания кислорода в экспериментальных OK_{α} -спектрах увеличивается, а расщепление p -зоны заметно уменьшается. Экспериментальные данные, полученные в этой работе, позволяют также сделать вывод о том, что состояния, связанные с наличием цепочечного кисло-

рода $O^{(1)}$, вносят вклады в плотность состояний непосредственно на уровне Ферми и, возможно, по этой причине играют ключевую роль в создании сверхпроводящих свойств.

Таким образом, изменение формы эмиссионных OK_{α} - и CuL_{α} - полос и уменьшение расщепления p -состояний при переходе от $YBa_2Cu_3O_7$ к $YBa_2Cu_3O_6$ подтверждают резонансный характер взаимодействия d - и p -состояний.

Список литературы

- [1] Wu M.K., Aschburn J.R., Torg S.J., Hor P.H., Meng R.L., Gao L., Huang Z.J., Wang Y.O., Chu C.W. Phys. Rev. Lett. **58**, 9, 908 (1987).
- [2] Дубровский О.И., Курганский С.И., Домашевская Э.П. СФХТ **3**, 8, 1915 (1990).
- [3] Beno M.A., Soderholm L., Capone D.W., Hinks D.G., Jorgensen J.D., Grace J.D., Schuller I.K., Serge C.U., Zhang K. Appl. Phys. Lett. **51**, 1, 57 (1987).
- [4] Kamaraas K., Porter C.D., Doss M.G., Herr S.L., Tanner D.B., Bonn D.A., Greedan J.E., Reilly A.H., Stager C.V., Timusk T. // Phys. Rev. Lett. **59**, 8, 919 (1987).
- [5] Krakauer H., Pasternak M., Freeman A.J. Phys. Rev. **B19**, 4, 1706 (1979).
- [6] Vosko S.H., Wilk L., Nusair M. Can. J. Phys. **58**, 8, 1200 (1980).
- [7] Kurganskii S.I., Dubrovskii O.I., Domashevskaya E.P. Phys. Stat. Sol. (b) **129**, 1, 293 (1985).
- [8] Блохин М.А., Швейцер И.Г. Рентгеноспектральный справочник. М. (1982), 376 с.
- [9] Немошканенко В.В., Алешин В.Г. Теоретические основы рентгеновской эмиссионной спектроскопии. Киев (1974), 384 с.
- [10] Redinger J., Freeman A.J., Yu J., Massida S. Phys. Lett. A **124**, 469 (1987).
- [11] Mariot J.-M., Barnolle V., Hague C.F., Frey T., Siegmann S., Guntherodt H.-J. J. Less-Comm. Met. **164 & 165**, 1209 (1990).
- [12] Немошканенко В.В., Уваров В.Н., Ерешенко А.А., Толпиго С.К., Стародуб В.А., Оболенский М.А., Жалко-Титаренко А.В., Шелудченко Л.М. СФХТ **3**, 5, 858 (1990).